

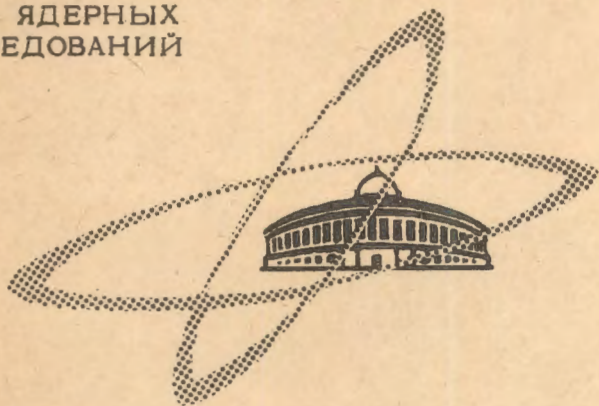
2949

Экз. чит. зала

ОБЪЕДИНЕННЫЙ  
ИНСТИТУТ  
ЯДЕРНЫХ  
ИССЛЕДОВАНИЙ

Дубна

P2 - 2949



ЛАБОРАТОРИЯ ТЕОРЕТИЧЕСКОЙ ФИЗИКИ

Ю.Н. Тюхтяев, Р.Н. Фаустов

ВЫШНИЕ ПОПРАВКИ  
К РАСЩЕПЛЕНИЮ ОСНОВНОГО УРОВНЯ  
ПОЗИТРОНИЯ. I

1966

P2-2848

Ю.Н. Тюхтяев, Р.Н. Фаустов

ВЫСШИЕ ПОПРАВКИ  
К РАСЩЕПЛЕНИЮ ОСНОВНОГО УРОВНЯ  
ПОЗИТРОНИЯ. I

Направлено в ЖЭТФ

В последнее время квазипотенциальный метод, развитый в работе <sup>1/</sup>, был успешно применен к расчету связанных состояний квантовомеханических систем двух заряженных частиц <sup>2,3/</sup>.

Как хорошо известно, при вычислениях сверхтонкого сдвига в атоме водорода учитывались диаграммы высокого порядка относительно постоянной тонкой структуры  $\alpha$  и величины  $\frac{m_e}{m_p}$ , характеризующей эффекты отдачи ( $m_e$  и  $m_p$  — массы электрона и протона соответственно).

Однако существенная неопределенность поправок, связанных с конечностью массы и структурой протона, не дает возможности однозначного сравнения теории и эксперимента <sup>4/</sup>. Интересно было бы поэтому обратиться к высшим порядкам расщепления основного состояния позитрония, поскольку он представляет собой чисто электродинамическую систему.

Подобные вычисления дали бы возможность проверить методы теории возмущения с высокой степенью точности.

Известно также, что в ближайшем будущем предполагается поставить эксперимент по более надежному определению величины расщепления триплетного и синглетного уровней позитрония <sup>5/</sup>. С точностью до  $\alpha^8$  включительно сдвиг вычислен в работах <sup>6,2/</sup>. Вклад в энергетические поправки с точностью до  $\alpha^6$  вносят как диаграммы 6-го, так и диаграммы низших порядков.

Как станет ясно из последующего, работа с диаграммами 6-го порядка существенно облегчается простотой употребляемой при этом волновой функции. В настоящей статье мы обратимся к вычислению вкладов от диаграмм 2-го и 4-го порядков в расщепление основного состояния позитрония с точностью до 6-го порядка по  $\alpha$  включительно.

В рассматриваемом случае квазипотенциальное уравнение имеет вид:

$$(E^2 - 4p^2 - 4m^2)\psi(p) = \frac{4\sqrt{p^2 + m^2}}{(2\pi)^3} \int V(\vec{p}, \vec{q}) \psi(\vec{q}) d\vec{q}. \quad (1)$$

Потенциал  $V(\vec{p}, \vec{q})$  строится итерационным методом на основе диаграмм теории возмущения /1,3/. Энергетические поправки с точностью до  $\alpha^6$  определяются выражением:

$$\begin{aligned} \Delta E_{\text{полн.}} = & \langle \Delta V_d^{(2)} + V_o^{(2)} \rangle + \langle V^{(4)} \rangle + \langle \Delta V_d^{(2)} + V_o^{(2)} \rangle F(\Delta V_d^{(2)} + V_o^{(2)}) \rangle + \\ & + \langle V^{(6)} \rangle + \langle \Delta V_d^{(2)} + V_o^{(2)} \rangle F V^{(4)} \rangle + \langle V_d^{(4)} F(\Delta V_d^{(2)} + V_o^{(2)}) \rangle + \\ & + \langle (\Delta V_d^{(2)} + V_o^{(2)}) F(\Delta V_d^{(2)} + V_o^{(2)}) F(\Delta V_d^{(2)} + V_o^{(2)}) \rangle. \end{aligned} \quad (2)$$

Здесь  $V_d^{(2)}$  и  $V_o^{(2)}$  - вклады в потенциал  $V(\vec{p}, \vec{q})$  от прямой и обменной полюсных диаграмм второго порядка соответственно,  $V^{(4)}$  и  $V^{(6)}$  - аналогичные вклады от диаграмм 4-го и 6-го порядков.

$$\Delta V_d^{(2)} = V_d^{(2)} - \bar{U}, \quad (3)$$

где  $\bar{U}$  - кулоновский потенциал,

$$F = \frac{4\sqrt{p^2 + m^2}}{(2\pi)^3 (E - 4p^2 - 4m^2)} \quad (4)$$

Символ  $\langle \dots \rangle$  означает матричный элемент по волновым функциям уравнения (1) с кулоновским потенциалом.

Как уже говорилось выше, мы займемся вычислением величины:

$$\begin{aligned} \Delta E = \langle \Delta V \rangle = & \langle \Delta V_d^{(2)} + V_o^{(2)} \rangle + \langle V^{(4)} \rangle + \\ & + \langle \Delta V_d^{(2)} + V_o^{(2)} \rangle F(\Delta V_d^{(2)} + V_o^{(2)}) \rangle = \\ = & \langle \Delta V_d^{(2)} \rangle + \langle T_d^{(4)} \rangle - \langle \bar{U} F \Delta V_d^{(2)} \rangle - \langle \Delta V_d^{(2)} F \bar{U} \rangle - \langle \bar{U} F \bar{U} \rangle \\ & + \langle V_o^{(2)} \rangle + \langle T_o^{(4)} \rangle - \langle \bar{U} F V_o^{(2)} \rangle - \langle V_o^{(2)} F \bar{U} \rangle \end{aligned} \quad (5)$$

$T(\vec{p}, \vec{q})$  - матрица перехода от соответствующих фейнмановских диаграмм.

Подробная запись равенства (5) дает следующее выражение для вычисления энергетических сдвигов:

$$\Delta E = \frac{1}{(2\pi)^3} \int \psi^*(\vec{p}) \Delta V(\vec{p}, \vec{q}) \psi(\vec{q}) d\vec{q}. \quad (6)$$

Применение формулы (6) к расчету простейшей прямой диаграммы 2-го порядка показывает, что она в совокупности с членами типа  $\langle \bar{U} F \Delta V_d^{(2)} \rangle$  не дает вклада в сверхтонкий сдвиг позитрония 6-го порядка по  $\alpha$ .

Вклад от обменной полюсной диаграммы легко учесть, используя выражение для энергии основного уровня позитрония.

$$E = 2m - \frac{\alpha^2 m}{4}. \quad (7)$$

После разложения по  $\alpha$  выражения для  $\Delta E_0$  имеем:

$$\Delta E_0 = \frac{\pi\alpha}{m^2} |\psi_0^{\pm}(0)|^2 \langle \alpha^2 \rangle \left(1 + \frac{\alpha^2}{4}\right), \quad (8)$$

где  $\psi_0^{\pm}(0)$  - кулоновская волновая функция в  $r$  - пространстве при  $r = 0$ . Обменная диаграмма, описывающая вклад от эффекта поляризации вакуума, на этот раз влияния на сдвиг синглета относительно триплета не оказывает. Это следует из ее выражения<sup>/2/</sup>:

$$T_h(\vec{p}, \vec{q}) = \frac{e^2 [d(E^2) - 1]}{E^2} [\bar{u}_1^{\pm}(\vec{p}) \gamma^{\mu} C \bar{u}_2^{\mp}(-\vec{p})] [u_2^{\mp}(-\vec{q}) C^{\dagger} \gamma^{\mu} u_1^{\pm}(\vec{q})]. \quad (9)$$

Здесь происходит разложение по величине, пропорциональной  $\alpha^2$  и следующий член имеет порядок  $\alpha^7$ .

Матричные элементы типа  $\langle \bar{U} F V_0^{(2)} \rangle$  из выражения (5) в совокупности с соответствующими членами выражения  $\langle V_0^{(2)} \rangle$  также не дают вклада в рассматриваемый порядок по  $\alpha$ . Вычисления вкладов от остальных диаграмм 4-го порядка (см. рис.1) с помощью формулы (6) приводят к выражениям, содержащим некоторую  $f$ -функцию, свойства которой перечислены в<sup>/7/</sup>. Там же она с большой точностью протабулирована.

При расчете вклада от диаграмм на рис. 1 мы, как и прежде<sup>/8/</sup>, использовали приближенную функцию в виде:

$$\psi_0^{\pm}(\vec{p}) = (2\pi)^{3/2} \psi_0^{\pm}(0) \left[ \delta(\vec{p}) + \frac{\alpha m}{2\pi^2 p^4} \right], \quad (10)$$

где

$$\psi_0^{\pm}(0) = \frac{1}{\sqrt{\pi}} \left(\frac{\alpha m}{2}\right)^{3/2}.$$

Используя функцию (10) в интегралах типа (6), мы, строго говоря, имеем особенность в точке  $p = 0$ . Однако это происходит из разложения  $\psi_0^{\pm}(\vec{p})$  по  $\alpha$ . При использовании точной кулоновской функции получались бы члены, обратно пропорциональные  $\alpha$ , которые давали бы вклад в низшие порядки расщепления основного уровня. Учитывая сказанное, сумму вычисленных энергетических поправок 6-го порядка представим выражением:

$$\Delta E^{(6)} = \frac{\alpha^3 \pi}{m^2} |\psi_0^{\pm}(0)|^2 \langle \alpha^2 \rangle [a_0 + a_1 + a_2 + a_3 + a_4 + a_5 + a_6]. \quad (11)$$

Индекс  $e$  соответствует обменной диаграмме 2-го порядка, а индексы 1-6 - порядковому номеру диаграммы рис. 1.

$$\begin{aligned}
 a_0 &= \frac{1}{4}, & a_1 &= \frac{20}{3}, & a_2 &= \frac{1}{6}, & a_3 &= -1, \\
 a_4 &= \frac{31}{6}, & a_5 &= -\frac{1}{2} - 1, & a_6 &= -1,088.
 \end{aligned}
 \tag{12}$$

Подставим (12) в (11), получим окончательно:

$$\Delta E^{(6)} = \frac{\alpha^3 \pi}{m^2} |\psi_0^r(0)|^2 \langle s^2 \rangle = 9,662.
 \tag{13}$$

Для удобства последующих сравнений с экспериментом мы введем величину  $\Delta W_{th}$ , характеризующую расщепление основного состояния позитрония:

$$\Delta W_{th}^{(6)} = E(1^3 S_1) - E(1^1 S_0) = 45 \text{ Мгц}.
 \tag{14}$$

Теоретически найденное значение для расщепления основного уровня с точностью до  $\alpha^5$  равно <sup>2,6/</sup>:

$$\Delta W_{th} = \frac{\alpha^4 m}{2} \cdot \left[ \frac{7}{6} - \frac{\alpha}{\pi} \left( \frac{16}{9} + \ln 2 \right) \right] = 2,0337 \cdot 10^5
 \tag{15}$$

и согласуется с соответствующим экспериментальным значением <sup>9/</sup>

$$\Delta W_{exp} = (2,0336 \pm 0,0002) \cdot 10^5 \text{ Мгц}.
 \tag{16}$$

Вычисленная величина сверхтонкого расщепления основного состояния (14) выходит за пределы ошибки. Но, как уже говорилось выше, нами учтены поправки лишь от диаграмм второго и четвертого порядков. Вклад от диаграмм шестого порядка будет рассмотрен в последующей работе.

Как известно <sup>2,6/</sup>, мнимая часть сдвига уровней энергии позитрония, соответствующая диаграммам Б (рис. 1), характеризует вероятность распада паропозитрония ( $s=0$ ) на два фотона. На основании (12) вклад шестого порядка в мнимую часть равен <sup>2/</sup>:

$$\text{Im} \Delta E^{(6)} = -\frac{\alpha^3 \pi}{m^2} |\psi_0^r(0)|^2 \langle s^2 - 2 \rangle.
 \tag{17}$$

Подставляя сюда значение  $\psi_0^r(0)$  из равенства (10) и полагая  $\langle s^2 \rangle = 0$ , получим поправку к вероятности распада позитрония на два фотона

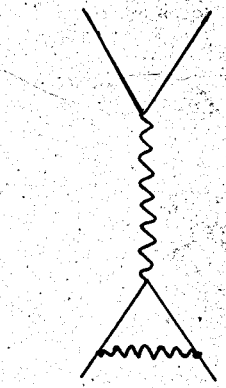
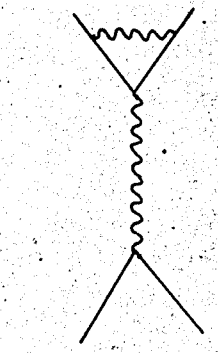
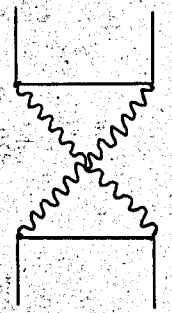
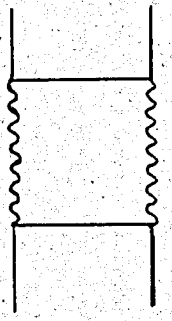
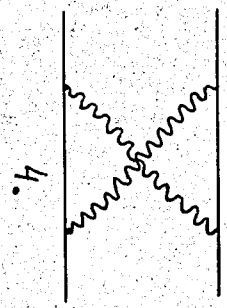
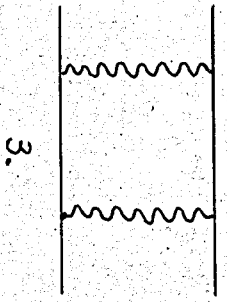
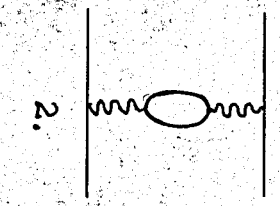
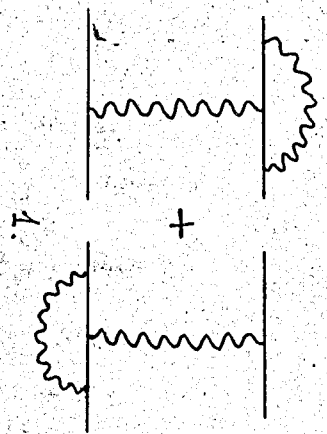
$$\Delta w_{2\gamma} = -2 \text{Im} \Delta E^{(6)} = -\frac{\alpha^6 m}{2}.
 \tag{18}$$

Авторы благодарны А.А. Логунову, А.Н. Тавхелидзе и О.А. Хрусталеву за внимание к работе и полезные обсуждения.

### Л и т е р а т у р а

1. A.A. Logunov, A.N. Tavkhelidze, *Nuovo Cim.*, 29, 380 (1963).
2. Р.Н. Фаустов. Труды Международной зимней школы теоретической физики ОИЯИ, том 2, стр. 108. Препринт ОИЯИ Р-1572, Дубна 1964.
3. R.N. Faustov. *Nuclear Physics*, 75, 669 (1966).
4. C.K. Iddings. *Phys. Rev.*, 138, B446 (1965).
5. V.W. Hughes. *Nucleon Structure Stanford University Press*, p.235 (1964).
6. R. Karplus, A. Klein. *Phys. Rev.*, 87, 848 (1952).
7. K. Mitchell, *Phil. Mag.*, 40, 351 (1949).
8. Ю.Н. Тухтязев, Р.Н. Фаустов. *Ядерная физика*, 2, 882 (1965).
9. V.W. Hughes, S. Marder, S.C. Wu, *Phys. Rev.*, 106, 934 (1957).

Рукопись поступила в издательский отдел  
26 сентября 1966 г.



р.с.1